

Министерство высшего и среднего специального образования СССР

Московское ордена Ленина, ордена Октябрьской Революции
и ордена Трудового Красного Знамени
высшее техническое училище им. Н. Э. Баумана

А. С. ГАЗАРЯН, Г. П. КЛЮЕВА

:

РАСТЯЖЕНИЕ—СЖАТИЕ

Методические указания
по выполнению домашнего задания
по курсу
«Сопротивление материалов»

Данные методические указания издаются в соответствии с
учебным планом. Рассмотрены и одобрены кафедрой К-5 04.04.86 г.,
методической комиссией факультета К 09.04.86 г. и учебно-методи-
ческим управлением 26.05.86 г.

Рецензент к.т.н. доц. Ховов В.М.

(С) Московское высшее техническое училище имени Н.Э.Баумана

Содержание

Стодика выполнения расчетно-графического домашнего задания	3
Оформление расчетно-графического домашнего задания	5
Растяжение-сжатие в пределах упругости	6
Растяжение-сжатие за пределами упругости	27
Приложение	36

Редактор О.М.Королева

Корректор Т.И.Малотина

Заказ 654 Объем 2,25 л.л. (2,25 уч.-час.) Тираж 2000 экз.
Бесплатно. Подписано к печати 04.05.87 Июнь 1986 г., № 96.

Типография МВТУ. 107005, Москва, Б-5, - Бауманская, 5.

Методика выполнения расчетно-графического домашнего задания

Приступая к выполнению задания, студент должен прежде всего изучить по конспектам лекций и учебнику теоретический материал соответствующего раздела курса, затем детально разобрать примеры и задачи, решенные на лекциях и семинарах. После этого он внимательно анализирует условия домашней задачи и намечает план ее решения. Вчера производят исходные выкладки - строят вспомогательные, основные, эквивалентные системы, записывают необходимые для решения именно этой задачи формулы и уравнения (уравнения статического равновесия, уравнения перемещений). На данном этапе студенту следует проконсультироваться у преподавателя, чтобы исключить непроизводительные потери времени в ходе последующего расчета.

Расчеты рекомендуется вести в общем виде, производя промежуточные выкладки либо в обыкновенных дробях, либо в десятичных дробях, округляя результаты с точностью, соответствующей точности счетной линейки (относительная погрешность до 1%), и все дальнейшие вычисления вести с этой точностью. Этими же соображениями нужно руководствоваться при округлении окончательных числовых результатов расчета (размеров, допускаемых нагрузок и т.п.). В расчетах необходимо использовать рекомендуемую государственным стандартом Международную систему единиц (СИ). Основные и производные единицы этой системы, используемые в расчетах на прочность, представлены в табл. I. Перевод из технической системы единиц в СИ выполняется в соответствии с табл. 2.

Как правило, в домашних заданиях студенту предлагается пройти элементарные графические исследования полученных результатов путем построения энтр., графиков наиболее характерных функций. При этом студент, используя знания и навыки, полученные в курсе математики, должен выбрать масштаб по координатным осям, а затем по необходимому числу точек четко построить график. При выборе масштаба следует стремиться к наибольшей наглядности результатов расчета и обеспечить возможность сопоставления этих результатов. По координатным осям необходимо проставлять обозначения соответствующего параметра и его размерность.

Таблица I

Наименование величины	Единицы		
	Наименование	Обозначения	Размерность
Основная			
Длина	метр	м	-
Время	секунда	с	-
Масса	килограмм	кг	-
Производная			
Скорость	метр в секунду	м/с	м/с
Ускорение	метр на секунду в квадрате	м/с ²	м/с ²
Плотность	килограмм на кубический метр	кг/м ³	кг/м ³
Сила	ньютон	Н	кгм/с ²
Напряжение, давление	паскаль	Па	Н/м ²
Работа, энергия	дюйль	Дж	Н·м
Мощность	ватт	Вт	кг·м ² /с ³
Момент силы	ньютон-метр	Н·м	Н·м

Таблица 2

Наименование величины	Техническая система	СИ
Длина	1 см	10 ⁻² м
Площадь	1 см ²	10 ⁻⁴ м ²
Сила	1 кг	10 Н (9,81)
Напряжение, давление	1 кг/см ²	10 ⁵ Н/м ² (0,981·10 ⁵)
Работа, энергия	1 кг·см	0,1 Дж (0,0981)
Мощность	1 кг·см/с	0,1 Вт (0,0981)
Момент силы	1 кг·см	0,1 Н·м (0,0981)

Любой расчет теряет смысл, если в ходе его допускаются ошибки в выкладках. Поэтому следует, с одной стороны, внимательно и ответственно выполнять все математические операции, включая элементарные, а с другой стороны, использовать возможность проверять результат счета. Пренебрежение "арифметикой" со стороны инженера недопустимо ни в малейшей степени.

Вычислительная техника, необходимая для расчетов по курсу "Сопротивление материалов", несложная – электронные калькуляторы различных типов, малая электронно-вычислительная техника, счетные линейки.

Чистовое оформление выполненного задания производится без согласования с преподавателем в тех случаях, если студент уверен в правильности расчета.

Оформление расчетно-графического домашнего задания

Задание оформляется в тетради в клетку (как правило, в 12 листов). Сохраняя обложку, на первом (титульном) листе следует вычертить рамку и сделать справа внизу основную надпись (штамп) по указанному в приложении образцу.

При оформлении задач используются только лицевые стороны всех последующих листов, т.е. правые страницы заполняются, а левые остаются чистыми.

Оформление задачи надо начинать с полного текста условия, включая все числовые данные, и чертежа заданной системы в выбранном масштабе. Никаких дополнительных построений, связанных с решением задачи, на этом чертеже быть не должно. Силовые факторы можно изображать не в масштабе.

Последующее оформление ведется в соответствии с планом решения конкретной задачи. Целесообразно все чертежи выполнить карандашом, а записи вести чернилами (ластиком, или также карандашом, соблюдая четкость и аккуратность, не допуская помарок и исправлений).

В задаче, условие которой требует выполнения нескольких пунктов, при оформлении решения следует указывать порядковый номер и наименование пункта по условию.

Необходимо помнить, что построение эпюр следует вести после определения реакций в опорах, переходя от заданной системы к вспомогательной. Надо избегать такого размещения материала, при котором часть эпюр оказывается на одной странице, а часть пере-

носится на следующую. Это затрудняет в дальнейшем анализ построенных эпзор.

Все выкладки должны представлять собой стройную логическую цепочку и сопровождаться лаконичным пояснительным текстом.

При переходе от выражений, записанных в общем виде, к числовым результатам следует сначала полностью осуществить подстановку всех заданных параметров, не производя даже элементарных выкладок, а затем рациональным образом упростить полученное после подстановки выражение и вычислить искомое значение.

Если в задаче помимо построения эпзор предусмотрена также графическая интерпретация результатов (зависимости перемещений от сил и т. п.), то рекомендуется использовать миллиметровую бумагу форматом, не превышающим тетрадный лист.

При условии строгого соблюдения всех правил построения разрешается строить графики непосредственно в задании на листе в клетку.

Расложение-сжатие в пределах упругости

Задача I

Для стального ступенчатого стержня (F и $2F$ — площади ступеней) длиной 4ℓ , нагруженного системой сил, показанной на рис. I, построить эпзоры нормальных сил N , нормальных напряжений σ и осевых перемещений W .



Рис. I

Решение

I. Определение реакции опоры

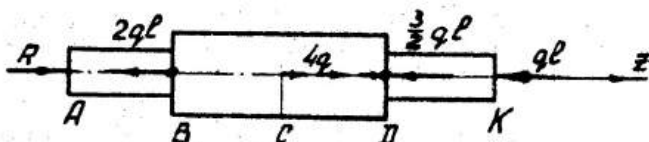


Рис. 2

Уравнение равновесия для всего стержня (рис. 2):

$$\sum P_z = 0.$$

$$R - 2ql + 4ql - \frac{3}{2}ql - ql = 0.$$

$$R = \frac{1}{2}ql.$$

Задача статически определима.

Для задач данного типа статическая определимость может быть установлена иначе: достаточно, определяя внутренние силы методом сечений, рассматривать равновесие правой незакрепленной части стержня.

2. Определение нормальных сил

Используя метод сечений, рассмотрим (см. рис. 2) последовательно все четыре участка стержня: AB, BC, CD, DK (равновесие всех частей стержня, записывая сумму проекций всех сил на ось z).

Рассмотрим текущее сечение в пределах участка AB , показав некую силу N_{AB} направленной на растяжение (рис. 3). Тогда знак силы, полученный из решения уравнения равновесия $\sum P_z = 0$, автоматически укажет знак нормальной силы в этом сечении: растяжение - плюс, сжатие - минус.

$$\sum P_z = \frac{1}{2}ql + N_{AB} = 0,$$

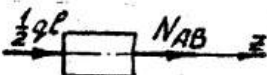


Рис. 3

где $N_{AB} = -\frac{1}{2}ql$ — сила сжатия, постоянна по длине участка AB .

Для текущего сечения участка BC (рис. 4) имеем

$$\Sigma P_z = \frac{1}{2} q\ell - 2q\ell + N_{BC} = 0,$$

где $N_{BC} = \frac{3}{2} q\ell$ — сила растягивающая, постоянная по длине участка BC .

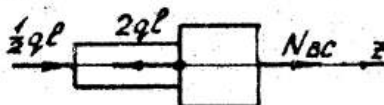


Рис. 4

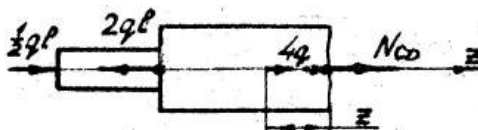


Рис. 5

Для текущего сечения участка CD (рис. 5)

$$\Sigma P_z = \frac{1}{2} q\ell - 2q\ell + 4qz + N_{CD} = 0,$$

$$N_{CD} = \frac{3}{2} q\ell - 4qz.$$

В пределах этого участка нормальная сила N_{CD} оказалась переменной, линейно зависимой от z , что объясняется наличием на участке CD равномерно распределенной по его длине нагрузкой.

При $z=0$ $N_C = \frac{3}{2} q\ell$ — растяжение;

при $z=l$ $N_D = -\frac{3}{2} q\ell$ — сжатие.

Для текущего сечения участка DK (рис. 6)

$$\Sigma P_z = \frac{1}{2} q\ell - 2q\ell + 4q\ell - \frac{3}{2} q\ell + N_{DK} = 0,$$

$$N_{DK} = -q\ell \text{ — сжатие.}$$

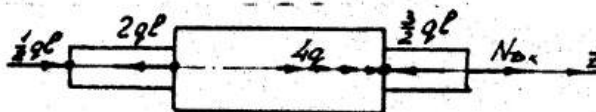


Рис. 6

Заметим, что к этому же результату придем, рассмотрев в соответствии с методом сечений равновесие части стержня, расположенной справа от текущего сечения (рис. 7).

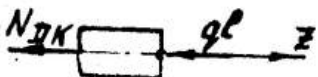


Рис. 7

$$\Sigma P_z = N_{2k} qe \cdot 0$$

N_{2k} - сжатие.

3. Определение напряжений

Напряжение

$$\sigma = \frac{N}{F}, \quad (I)$$

где N - нормальная сила в данном сечении;

F - площадь этого сечения.

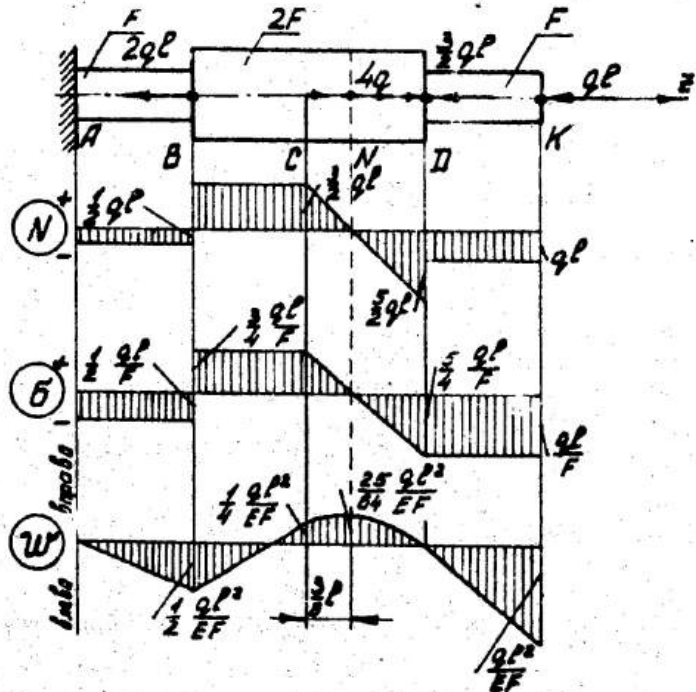


Рис. 8

Знак напряжения определяется знаком нормальной силы на рассматриваемом участке

$$\sigma_{AB} = -\frac{1}{2} \cdot \frac{9E}{F} - \text{сжатие};$$

$$\sigma_{BC} = \frac{3}{4} \cdot \frac{9E}{F} - \text{растяжение};$$

$$\sigma_{CD} = \frac{3}{4} \cdot \frac{9E}{F} - \frac{29z}{F};$$

при $z=0$ $\sigma_C = \frac{3}{4} \cdot \frac{9E}{F}$ - растяжение;

при $z=l$ $\sigma_D = -\frac{5}{4} \cdot \frac{9E}{F}$ - сжатие;

$$\sigma_{DK} = -\frac{9E}{F} - \text{сжатие}.$$

Эпюры нормальных сил N и нормальных напряжений σ представлены на рис. 8.

4. Определение осевых перемещений

При определении продольных перемещений W при отсутствии температурных деформаций используется формула

$$\frac{dW}{dz} = \varepsilon,$$

из которой с учетом закона Гука $\sigma = E\varepsilon$ и формулы $\sigma = \frac{N}{F}$ следует:

$$W = C + \int \frac{N}{EF} dz, \quad (2)$$

где W - перемещение текущего сечения z по длине стержня;

N - нормальная сила в этом сечении.

Если в качестве начала отсчета принять закрепленное сечение, то постоянная C становится равной нулю.

В случае, когда стержень не имеет закрепленного сечения, вычисление перемещений может проводиться от любого мысленно закрепленного сечения.

За положительное направление осевого перемещения может быть принято любое из направлений продольной оси стержня (вправо или влево).

Для данной задачи примем за начало отсчета сечение A ($W_A = 0$), а положительное направление отсчета перемещений совместим с направлением оси z .

На участке $AB(0 < z < l)$ нормальная сила N_{AB} постоянна, следовательно, эпюра W в соответствии с формулой (2) линейна.

При $z=0$ $W=W_A=0$;

$$\text{при } z = 0 \quad W = W_B = \frac{N_{AB} \cdot e}{E \cdot F} = -\frac{1}{2} \frac{qe^2}{EF};$$

(учитывается, что N_{AB} на этом участке скомпенсирован, поэтому сечение B перемещается влево).

На участке BC ($0 \leq z \leq e$) нормальная сила N_{BC} также постоянна, а, следовательно, энпора W также линейна. Перемещение сечения B уже известно, поэтому

$$W_C = W_B + \frac{N_{BC} \cdot e}{E \cdot 2F} = -\frac{1}{2} \frac{qe^2}{EF} + \frac{\left(\frac{3}{2}qe\right) \cdot e}{E \cdot 2F} = \frac{1}{4} \frac{qe^2}{EF}.$$

На участке CD ($0 \leq z \leq e$) нормальная сила N_{CD} меняется по линейному закону, а интеграл (2)

$$W = W_C + \int_0^z \frac{\left(\frac{3}{2}qe - 4qe^2\right)}{E \cdot 2F} dz = \frac{1}{4} \frac{qe^2}{EF} + \frac{3}{4} \frac{qe^2}{EF} - \frac{qe^2}{EF}$$

во квадратичному.

На этом участке W достигает экстремума в сечении, где производная

$$\frac{dW}{dz} = 0, \quad \text{т.е. } \frac{3}{4}qe - 2qe = 0;$$

$$\text{откуда } z_{\text{экст}} = \frac{3}{8}e.$$

Для построения энпоры W на этом участке вычислим:

$$W|_{z=0} = W_C = \frac{1}{4} \frac{qe^2}{EF} -$$

сечение перемещается вправо;

$$W|_{z=\frac{3}{8}e} = W_N = \frac{1}{4} \frac{qe^2}{EF} + \frac{3}{4} \frac{qe}{EF} \cdot \frac{3}{8}e - \frac{9}{EF} \left(\frac{3}{8}e\right)^2 = \frac{25}{64} \frac{qe^2}{EF} -$$

сечение перемещается вправо;

$$W|_{z=e} = W_D = \frac{1}{4} \frac{qe^2}{EF} + \frac{3}{4} \frac{qe}{EF} e - \frac{9}{EF} e^2 = 0.$$

На участке JK перемещение меняется по линейному закону, причем в сечении K

$$W_K = W_D + \frac{N_{JK} \cdot e}{E \cdot F} = 0 - \frac{qe \cdot e}{EF} = -\frac{qe^2}{EF} -$$

сечение перемещается влево.

Энпора перемещений приведена на рис. 8.

Рассмотрим другой способ вычисления перемещений, переписав формулу (2) следующим образом:

$$W = \frac{1}{E} \int_0^l \sigma dz. \quad (3)$$

Интеграл в этом выражении можно рассматривать как площадь эпюры σ между закрепленным сечением (константа $C=0$) и данным.

На участке AB ($0 \leq z \leq l$) $\sigma_{AB} = \frac{9e^2}{2F}$ постоянно, а, следовательно, эпюра W в соответствии с интегралом (3) линейна.

При $z=0$ $W=W_A=0$;

$$\text{при } z=l \quad W=W_B = \frac{1}{E} \sigma_{AB} \cdot l = -\frac{1}{2} \frac{9e^2}{EF}$$

σ_{AB} на участке скользящее, сечение перемещается влево.

Двигаясь таким образом последовательно от сечения к сечению вдоль оси стержня, определим перемещения, вычисляя графически интеграл (3) алгебраическим суммированием площадей эпюр напряжений:

$$W_C = W_B + \frac{1}{E} \sigma_{BC} \cdot l = -\frac{1}{2} \frac{9e^2}{EF} + \frac{1}{E} \frac{3}{4} \frac{9e^2}{F} \cdot l = \frac{1}{4} \frac{9e^2}{EF}$$

и т.д.

Задача 2

Стальной ступенчатый стержень жестко закреплен в опоре A и имеет зазор Δ в сечении K (рис. 9). Построить эпюры внутренних сил N , нормальных напряжений σ , осевых перемещений W . Из расчета на прочность определить площадь поперечного сечения F .

Дано: $P = 50 \text{ кН}$, $e = 0,3 \text{ м}$,

$$\Delta = \frac{1}{2} \frac{9e^2}{EF}, \quad \sigma_P = \sigma_{PK} = \sigma_T = 250 \text{ МПа},$$

$$\mu_T = 1,5, \quad E = 2 \cdot 10^5 \text{ МПа}.$$

Решение

I. Проверим, перекроется ли зазор Δ при действии сил P , вычислив удлинение стержня в предположении отсутствия нижней опоры. Используя принцип независимости действия внешних сил, по-

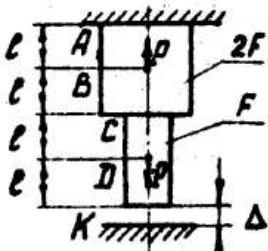


Рис. 9

лучим

$$\Delta e_{AK} = \frac{\rho e}{EF} + \frac{\rho \cdot 2e}{E \cdot 2F} - \frac{\rho \cdot e}{E \cdot 2F} = \frac{3}{2} \frac{\rho e}{EF},$$

$\Delta e_{AK} > \Delta$ следовательно, зазор перекроется, т.е. в сечении K возникнет сжимающая реакция R_K .

2. Запишем уравнение статического равновесия

$$ZP_2 = 0, R_A - P + P - R_K = 0, R_A = R_K. \quad (I)$$

Задача один раз статически неопределенна.

Уравнение перемещений:

$$\Delta e_{AK} = 0.$$

Запишем его, представив нижнее сечение K свободным и нагруженным силой R_K , а верхнее сечение A закрепленным (рис. 10), в виде

$$\frac{\rho e}{EF} + \frac{\rho \cdot 2e}{E \cdot 2F} - \frac{\rho \cdot e}{E \cdot 2F} - \frac{R_K \cdot 2e}{EF} =$$

$$-\frac{R_K \cdot 2e}{E \cdot 2F} = \Delta = \frac{1}{2} \frac{\rho e^2}{EF}. \quad (2)$$

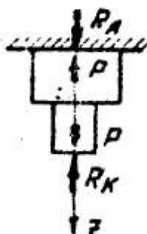


Рис. 10

При записи уравнения (2) необходимо слагать на знаками слагаемых. Со знаком плюс в левой части уравнения берутся те перемещения, которые способствуют закрытию зазора Δ .

Решив уравнение (2) с учетом (I), получим

$$R_K = R_A = \frac{1}{3} P.$$

3. Построим эпюры нормальных сил N , напряжений σ и осевых перемещений W .

$$N_{AB} = R_A = \frac{1}{3} P = 16,66 \text{ кН} \quad - \text{сжатие};$$

$$N_{BC} = N_{CD} = P - R_A = 33,33 \text{ кН} \quad - \text{растяжение};$$

$$N_{DK} = R_K = \frac{1}{3} P = 16,66 \text{ кН} \quad - \text{сжатие}.$$

Нормальные напряжения

$$\sigma_{AB} = \frac{N_{AB}}{2F} = \frac{P}{6F} \quad - \text{сжатие};$$

$$\sigma_{BC} = \frac{N_{BC}}{2F} = \frac{\rho}{3F} - \text{растяжение};$$

$$\sigma_{CD} = \frac{N_{CD}}{F} = \frac{2\rho}{3F} - \text{растяжение};$$

$$\sigma_{DE} = \frac{N_{DE}}{F} = \frac{1}{3} \frac{\rho}{F} - \text{сжатие}.$$

4. Вычислим осевые перемещения.

За начало отсчета выбираем сечение A, перемещения, направленные вниз, положительны.

$$W_A = 0;$$

$$W_B = \frac{N_{AB}\cdot\ell}{2EF} = \frac{-\rho\ell}{3\cdot2F} = -\frac{\rho\ell}{6F} - \text{вверх};$$

$$W_C = W_B + \frac{N_{AC}\cdot\ell}{2EF} = -\frac{\rho\ell}{6EF} + \frac{2}{3} \frac{\rho\ell}{2EF} = \frac{1}{6} \frac{\rho\ell}{EF} - \text{вниз};$$

$$W_D = W_C + \frac{N_{CD}\cdot\ell}{EF} = \frac{\rho\ell}{6EF} + \frac{2}{3} \frac{\rho\ell}{EF} = \frac{5}{6} \frac{\rho\ell}{EF} - \text{вниз};$$

$$W_X = W_D + \frac{N_{DC}\cdot\ell}{EF} = \frac{5}{6} \frac{\rho\ell}{EF} - \frac{\rho\ell}{3EF} = \frac{1}{2} \frac{\rho\ell}{EF} - \text{вниз}.$$

5. Определим площадь поперечного сечения из условия прочности. Условие прочности:

$$\sigma_{max} \leq [6] \quad (3)$$

Так как материал пластичный, то $[6] = \frac{\sigma_r}{n_r}$.

Из уравнения (3) с учетом эпюры σ

$$\frac{2}{3} \frac{\rho}{F} = \frac{\sigma_r}{n_r}; \quad F = \frac{2}{3} \frac{\rho n_r}{\sigma_r};$$

$$F = \frac{2 \cdot 50 \cdot 10^3 \cdot 1.5}{3 \cdot 250 \cdot 10^6} = 2 \cdot 10^{-4} \text{ м}^2;$$

$$F = 2 \text{ см}^2.$$

Вычислим σ и W с учетом найденного значения F .

$$\sigma_{AB} = \frac{\rho}{6F} = \frac{50 \cdot 10^3}{6 \cdot 2 \cdot 10^{-4}} = 41,66 \text{ МПа};$$

$$\sigma_{BC} = \frac{\rho}{3F} = \frac{50 \cdot 10^3}{3 \cdot 2 \cdot 10^{-4}} = 83,33 \text{ МПа};$$

$$\sigma_{CD} = \frac{2}{3} \frac{\rho}{F} = \frac{2 \cdot 50 \cdot 10^3}{3 \cdot 2 \cdot 10^{-4}} = 166,66 \text{ МПа};$$

$$\sigma_{DE} = \frac{1}{3} \frac{\rho}{F} = 83,33 \text{ МПа}.$$

Основные перемещения:

$$W_B = -\frac{\rho e}{6 E F} = -\frac{50 \cdot 10^3 \cdot 0.3}{6 \cdot 2 \cdot 10^{11} \cdot 2 \cdot 10^4} = -0.0625 \text{ мм} \quad - \text{вверх};$$
$$W_C = 0.0625 \text{ мм} \quad - \text{вниз};$$

$$W_D = \frac{5}{6} \frac{\rho e}{E F} = 0.3125 \text{ мм} \quad - \text{вниз};$$

$$W_K = \frac{1}{2} \frac{\rho e}{E F} = 0.1875 \text{ мм} \quad - \text{вниз}.$$

Все полученные результаты представлены на рис. II.

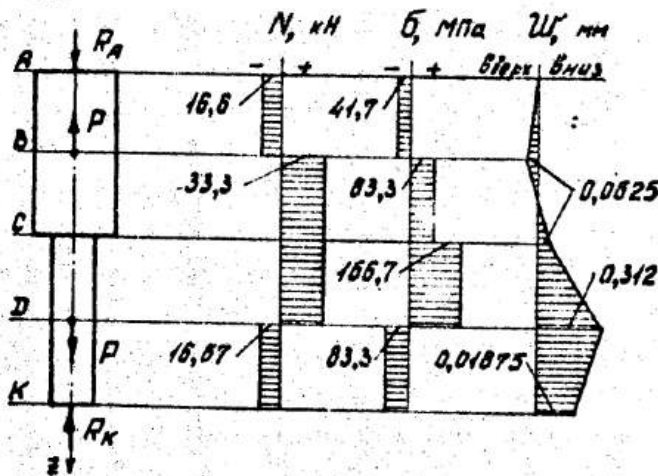


Рис. II

Задача 3

Определить внутренние силы и перемещения, возникающие в стальных стержнях одинаковых размеров в результате сборки заданной стержневой системы (рис. I2).

Вычислить допускаемую величину зазора Δ из условия прочности стержней.

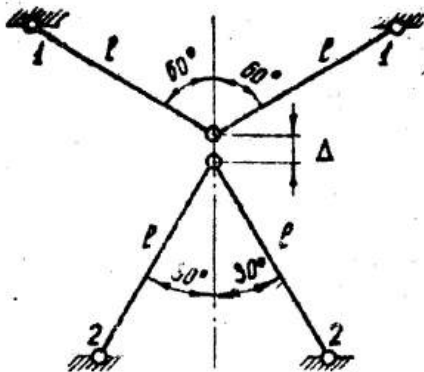


Рис. 12

Дано: $\ell = 1 \text{ м}$, $F = 2 \text{ см}$, $E = 2 \cdot 10^5 \text{ МПа}$, $r_7 = 1,5$,

$$6_{70} \cdot 6_{70} = 6_7 = 300 \text{ МПа.}$$

Решение

I. Определение нормальных сил и напряжений, возникших в стержнях.

В результате сборки данной стержневой системы узлы A_1 и A_2 соединяются в общий узел A , который займет промежуточное положение между узлами A_1 и A_2 (рис. 13).

Из условия статического равновесия узла A , записав $\Sigma P_y = 0$, получим

$$2N_1 \cos 60^\circ - 2N_2 \cos 30^\circ = 0, \quad N_1 = \sqrt{3} N_2. \quad (1)$$

Задача один раз статически не-определенная.

Уравнение перемещений получим из условия совместности деформаций стержней 1 и 2 (см. рис. 13):

$$\Delta = \frac{\Delta \ell_1}{\cos 60^\circ} + \frac{\Delta \ell_2}{\cos 30^\circ}, \quad (2)$$

$$\Delta \ell_1 = \frac{N_1 \ell}{EF}, \quad \Delta \ell_2 = \frac{N_2 \ell}{EF}.$$

$$\Delta = \frac{N_1 \ell}{EF \cos 60^\circ} + \frac{N_2 \ell}{EF \cos 30^\circ}. \quad (3)$$

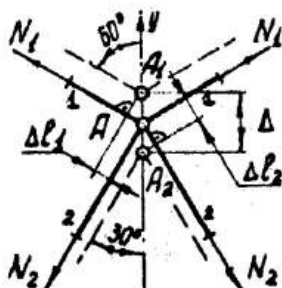


Рис. 13

Решив совместно уравнения (1) и (3), определим внутренние силы и напряжения в стержнях I и 2:

$$N_1 = \frac{3}{8} \frac{\Delta E F}{\ell} \quad \text{-- растяжение;}$$

$$N_2 = \frac{\sqrt{3}}{8} \frac{\Delta E F}{\ell} \quad \text{-- растяжение;}$$

$$\sigma_1 = \frac{3}{8} \frac{\Delta E}{\ell} \quad \text{-- растяжение;}$$

$$\sigma_2 = \frac{\sqrt{3}}{8} \frac{\Delta E}{\ell} \quad \text{-- растяжение.}$$

Из условия прочности

$$\sigma_{max} \leq [\sigma] = \frac{\sigma_r}{n_r}$$

вычислим допускаемую величину зазора $[\Delta]$:

$$\frac{3}{8} \frac{[\Delta] \cdot E}{\ell} \cdot \frac{\sigma_r}{n_r}; \quad [\Delta] = \frac{8}{3} \frac{\sigma_r \ell}{n_r E};$$

$$[\Delta] = \frac{8 \cdot 300 \cdot 1}{3 \cdot 1,5 \cdot 2 \cdot 10^5} = \frac{8}{3} \cdot 10^{-3} \text{ м} = \frac{8}{3} \text{ мм};$$

$$[\Delta] = 2,67 \text{ мм.}$$

При найденном значении зазора Δ

$$N_1 = \frac{3}{8} \frac{\Delta E F}{\ell} = \frac{3 \cdot 8 \cdot 10^{-3} \cdot 2 \cdot 10^{11} \cdot 2 \cdot 10^4}{8 \cdot 3 \cdot 1} = 4 \cdot 10^4 \text{ Н};$$

$$N_1 = 40 \text{ кН};$$

$$N_2 = \frac{1}{\sqrt{3}} N_1; \quad N_2 = 22,7 \text{ кН};$$

$$\sigma_1 = 200 \text{ МПа}; \quad \sigma_2 = 114 \text{ МПа.}$$

Задача 4

Определить внутренние силы, возникающие в стержнях I и 2 (рис. 14). Найти коэффициент эпюры силы в стержне I и работу сеч. P . Деформацией бруса большой жесткости и охлаждением веса всех элементов системы по сравнению с силой P пренебречь.

Дано: $P = 49 \text{ кН}$, $F_1 = F_2 = 2 \text{ см}^2$, $\ell_2 = 1 \text{ м}$, $\ell_1 = 3\ell_2$, $E = 2 \cdot 10^5 \text{ МПа}$, $\sigma_r = 300 \text{ МПа}$.



Рис. 14



Рис. 15

Решение

I. Определение нормальных сил и нормальных напряжений

Для нахождения нормальных сил используем метод сечений и запишем уравнение статического равновесия:

$$\sum M_0 = 0, \quad N_1 \cdot 2a + N_2 \cdot a - Pa = 0, \quad 2N_1 + N_2 = P. \quad (1)$$

Задача один раз статически неопределенна.

Представив положение оси бруса после деформации стержней I и 2 (рис. 15), запишем уравнение перемещений:

$$\Delta l_1 = 2\Delta l_2, \quad (2)$$

$$\Delta l_1 = \frac{N_1 \ell_1}{E F_1}, \quad \Delta l_2 = \frac{N_2 \ell_2}{E F_2}.$$

При $F_1 = F_2 = F$ и $\ell_1 = 3\ell_2$ получим

$$\frac{N_1 \cdot 3\ell_2}{E F} = 2 \cdot \frac{N_2 \ell_2}{E F} \rightarrow N_1 = \frac{2}{3} N_2. \quad (3)$$

Решив совместно уравнения (1) и (3), получим

$$N_1 = \frac{2}{7} P - \text{растяжение}; \quad N_2 = \frac{3}{7} P - \text{растяжение};$$

$$N_1 = 14 \text{ кН}, \quad N_2 = 21 \text{ кН};$$

$$\sigma_1 = \frac{N_1}{F} = \frac{14 \cdot 10^3}{2 \cdot 10^{-4}} = 70 \text{ МПа} - \text{растяжение};$$

$$\sigma_2 = \frac{N_2}{F} = \frac{21 \cdot 10^3}{2 \cdot 10^{-4}} = 105 \text{ МПа} - \text{растяжение}.$$

2. Определение коэффициента запаса системы по текучести
Коэффициент запаса n_T , получим из условия прочности при
растяжении-сжатии.

$$\sigma_{\max} * [6] = \frac{\sigma_T}{n_T} \rightarrow n_T = \frac{\sigma_T}{\sigma_{\max}};$$

$$\sigma_{\max} = \sigma_2;$$

$$n_T = \frac{\sigma_T}{\sigma_2} = \frac{300}{105} = 2,8, \quad n_T = 2,8.$$

3. Определение работы силы P

$$A = \frac{1}{2} P \cdot \delta_C;$$

$$\delta_C = \Delta L_2 = \frac{N_2}{E F} = \frac{21 \cdot 10^3}{2 \cdot 10^{11} \cdot 2 \cdot 10^{-4}} = 5,25 \cdot 10^{-4} \text{ м};$$

$$\delta_C = 0,525 \text{ мм};$$

$$A = \frac{1}{2} \cdot 49 \cdot 10^3 \cdot 5,25 \cdot 10^{-4};$$

$$A = 12,85 \text{ Дж}.$$

Растяжение-сжатие за пределами упругости

Задача 5

Бруск большой жесткости закреплен стальными стержнями заданных размеров и нагружен силой P (ко. I6).

Считая материал стержней идеально упругопластическим (рис. I7), определить силу $P = P_T$, при которой в системе возникнут первые пластические деформации, и силу $P = P_{NP}$, при которой исчерпывается несущая способность системы. Деформации бруса большой жесткости и силой веса всех элементов системы по сравнению с силой P пренебречь.

Вычислить остаточные силы в стержнях I, 2 .. 3 и остаточное перемещение точки A приложения силы P после нагружения системы силой $P = P'$ и последующей разгрузки. Построить графики изменения

напряжениях и перемещениях точек B при возрастании силы P от нуля до P_{cr} .

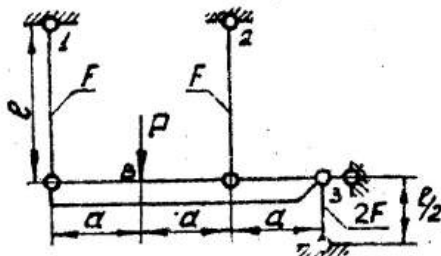


Рис. 16

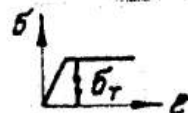


Рис. 17

Дано: $l = 0.5 \text{ м}$; $F = 1 \text{ см}^2$; $P'' = 65 \text{ кН}$; $E = 2 \cdot 10^5 \text{ МПа}$;
 $\sigma_{cr} = \sigma_{cr, \text{сж}} = 350 \text{ МПа}$.

Решение

I. Рассмотрим систему в области упругих деформаций ($0 < P \leq P_c$). Уравнения статического равновесия (рис. 18):

$$\sum P_y = 0; N_1 + N_2 + N_3 - P = 0; \quad \sum M_A = 0; \quad (I)$$

$$N_2 \cdot 2a - P \cdot a + N_3 \cdot 3a = 0; \quad 2N_2 + 3N_3 = P. \quad (Ia)$$

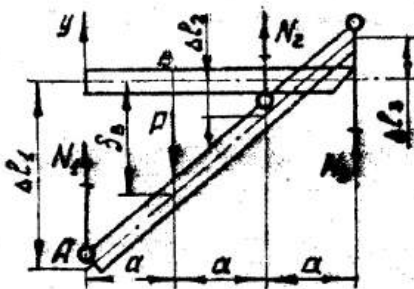


Рис. 18

Уравнение перемещений получим, представив систему в деформированном состоянии (см. рис. 18):

$$\Delta \ell_1 + \Delta \ell_3 = 3(\Delta \ell_2 + \Delta \ell_3), \quad (2)$$

$$3 \cdot \Delta \ell_2 + 2 \cdot \Delta \ell_3 - \Delta \ell_1 = 0.$$

Для стержней 1 и 2 выбранные направления сил N_1 и N_2 соответствуют деформированному состоянию стержней (см. рис. 18), следовательно

$$\Delta \ell_1 = \frac{N_1 \cdot \ell}{E \cdot F} \quad \Delta \ell_2 = \frac{N_2 \cdot \ell}{E \cdot F}.$$

Сила N_3 при записи уравнений равновесия (I) и (Ia) предполагалась сжимающей, а по рисунку деформированного состояния (см. рис. 18) стержень 3 увеличил свою длину, поэтому $\Delta \ell_3$, записанное через силу N_3 , будет отрицательным, т.е.

$$\Delta \ell_3 = -\frac{N_3 \cdot \ell/2}{E \cdot F}.$$

После подстановки в уравнение (2) получим

$$3 \cdot \frac{N_1 \cdot \ell}{E \cdot F} - 2 \cdot \frac{N_3 \cdot \ell/2}{E \cdot 2F} - \frac{N_2 \cdot \ell}{E \cdot F} = 0,$$

$$5N_2 \cdot N_3 - 2N_1 = 0. \quad (3)$$

Решив совместно уравнения (I), (Ia), (3), получим

$$N_1 = \frac{13}{22} \rho - \text{растяжение}; \quad (4)$$

$$N_2 = \frac{5}{22} \rho - \text{растяжение}; \quad (5)$$

$$N_3 = \frac{4}{22} \rho - \text{сжатие}. \quad (6)$$

Нормальные напряжения $\sigma = \frac{N}{F}$;

$$\sigma_1 = \frac{13}{22} \frac{\rho}{F}; \quad \sigma_2 = \frac{5}{22} \frac{\rho}{F}; \quad \sigma_3 = \frac{2}{22} \frac{\rho}{F}; \quad \sigma_4 = \sigma_{max}.$$

Первые пластические деформации появятся при достижении σ_{max} величиной σ_r , т.е. при $\sigma_4 = \sigma_r$, следовательно, из этого условия может быть найдена сила ρ :

$$\frac{13}{22} \frac{\rho}{F} = \sigma_r \rightarrow \rho_r = \frac{22}{13} \sigma_r \cdot F;$$

$$\rho_r = \frac{22}{13} 350 \cdot 10^6 \cdot 1 \cdot 10^{-4} = 59200 \text{ Н}; \quad \rho_r = 59,2 \text{ кН}.$$

Внутренние силы при $P = P_T = 35 \text{ кН}$

$$N_1 = 6_T F = 350 \cdot 10^6 \cdot 10^{-4} = 35 \text{ кН} \quad - \text{растяжение};$$

$$N_2 = \frac{3}{22} P_F = \frac{3}{22} \cdot 592 = 1343 \text{ кН} \quad - \text{растяжение};$$

$$N_3 = \frac{4}{22} P_F = \frac{4}{22} \cdot 592 = 1076 \text{ кН} \quad - \text{сжатие}.$$

2. Определим перемещение точки В

В соответствии с чертежом деформированного состояния (см. рис. 18)

$$\delta_B + \alpha \ell_3 = 2(\alpha \ell_2 + \alpha \ell_3);$$

$$\delta_B = 2\alpha \ell_2 + \alpha \ell_3$$

С учетом уравнений (5) и (6)

$$\delta_B = 2 \cdot \frac{5}{22} \frac{\rho \epsilon}{E F} - \frac{4}{22} \frac{\rho \epsilon_{12}}{E \cdot 2F} = \frac{9}{22} \frac{\rho \epsilon}{E F}. \quad (7)$$

При $\rho = P_T$:

$$\delta_B = \frac{9}{22} \cdot \frac{592 \cdot 10^{-4} \cdot 0.5}{2 \cdot 10^{11} \cdot 10^{-4}} = 6.05 \cdot 10^{-4} \text{ м} = 0.605 \text{ мм} \quad - \text{вниз}.$$

Рассмотрим систему в области упругопластических деформаций ($\rho \leq \rho \leq \rho_{pl}$).

Так как $\rho > P_T$, то стержень I деформируется пластически, следовательно, с учетом диаграммы $\sigma - \epsilon$ (см. рис. 16)

$$\delta_1 = \delta_T, \quad (8)$$

$$N_1 = \delta_T \cdot F.$$

Стержни 2 и 3 деформируются упруго.

Из уравнения статики

$$N_1 + N_2 + N_3 - P = 0, \quad (9)$$

$$N_2 \cdot 2a + N_3 \cdot 3a - P \cdot a = 0. \quad (10)$$

Решая совместно уравнения (8), (9) и (10), находим внутренние силы (рис. 19):

$$N_2 = 2P - 3N_T \cdot F, \quad (II)$$

$$N_3 = 2 \cdot 6_T \cdot F - P. \quad (I2)$$

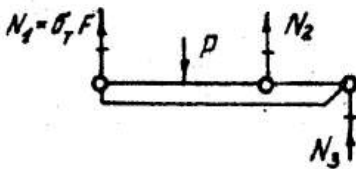


Рис. 19

Нормальные напряжения

$$\sigma_2 = \frac{2P}{F} - 3\sigma_r; \quad \sigma_3 = \sigma_r - \frac{P}{2F}.$$

Перемещение точки В следует определять через изменения длин упруго работающих стержней 2 и 3:

$$\delta_B = 2 \cdot \Delta\ell_2 + \Delta\ell_3 = 2 \cdot \frac{(2P - 3\sigma_r F) \ell}{EF} - \frac{(2\sigma_r F - P) \ell/2}{E \cdot 2F},$$

$$\delta_B = \frac{(17P - 26\sigma_r F)\ell}{4EF}. \quad (13)$$

Предельное состояние системы наступает тогда, когда, наряду со стержнем I, пластические деформации появятся в стержне 2 или 3, так как при этих условиях будет исчерпана несущая способность системы. Предположим, что пластические деформации, наряду со стержнем I, возникли в стержне 2:

$$\sigma_2 \cdot \frac{2P_{np}}{F} - 3\sigma_r = \sigma_r \rightarrow P'_{np} = 26, F.$$

Теперь предположим, что пластические деформации, наряду со стержнем I, возникли в стержне 3:

$$\sigma_3 = \sigma_r - \frac{P''_{np}}{2F} = -\sigma_r \rightarrow P''_{np} = 46, F;$$

$$P'_{np} < P''_{np};$$

следовательно, вслед за стержнем I пластические деформации возникнут в стержне 2, т.е.

$$P_{np} = P'_{np} = 26, F;$$

$$P_{np} = 2 \cdot 350 \cdot 10^6 \cdot 10^{-4}; \quad P_{np} = 70 \text{ кН.}$$

При $P = P_{np} = 70 \text{ кН}$.

$$N_1 = 6_f \cdot F = 35 \text{ кН} - \text{растяжение};$$

$$N_2 = 6_f \cdot F = 35 \text{ кН} - \text{растяжение};$$

$$N_3 = 26_f \cdot F - P_{np} = 0 - \text{сжатие}.$$

С учетом уравнения (I3) при $P = P_{np} = 26_f \cdot F$

$$\delta_B = \frac{(17 \cdot 26_f \cdot F - 26 \cdot 6_f \cdot F) \ell}{4EF} = \frac{26_f \ell}{E} = \frac{2 \cdot 350 \cdot 10^6 \cdot 0,5}{2 \cdot 10^{11}};$$

$$\delta_B = 1,25 - \text{вниз}.$$

Рассмотрим нагружение системы силой $P'' = 65$ кН и последующую разгрузку. Так как $P < P''$, P_{np} внутренние силы и перемещение точки B при нагрузке системы силой P'' определяются по формулам (8), (II), (12) и (13):

$$N_1'' = 6_f \cdot F = 35 \text{ кН} - \text{растяжение};$$

$$N_2'' = 2P'' \cdot 6_f \cdot F = 2 \cdot 65 \cdot 3 \cdot 35 = 25 \text{ кН} - \text{растяжение};$$

$$N_3'' = 26_f \cdot F - P'' = 2 \cdot 35 - 65 = 5 \text{ кН} - \text{сжатие};$$

$$\delta_B'' = \frac{(17 \cdot 26_f \cdot F - 26 \cdot 6_f \cdot F) \ell}{4EF} = \frac{(17 \cdot 65 - 26 \cdot 35) 10^3 \cdot 0,5}{4 \cdot 2 \cdot 10^{11} \cdot 10^{-4}};$$

$$\delta_B'' = 1,219 - \text{вниз}.$$

Равновесие системы при нагрузке представлено на рис. 20.

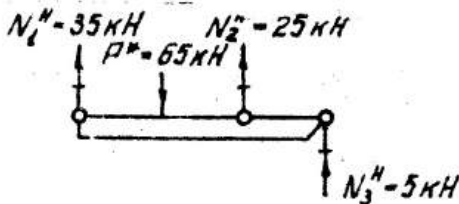


Рис. 20

Внутренние силы и перемещения точки B при разгрузке определяются в соответствии с зависимостями (4)–(7), полученными в упругом решении (см. п. I), с учетом изменения направления действия силы P'' на противоположное.

$$N_1' = \frac{13}{22} P'' = \frac{13 \cdot 65}{22} = 38,41 \text{ кН} - \text{сжатие};$$

$$N_2^P = \frac{5}{22} P^* = \frac{5 \cdot 65}{22} = 14,77 \text{ кН}$$

- сжатие;

$$N_3^P = \frac{4}{22} P^* = \frac{4 \cdot 65}{22} = 11,82 \text{ кН}$$

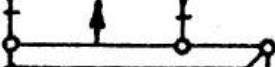
- растяжение.

Равновесные системы при разгрузке представлено на рис. 21.

$$\delta_B = \frac{g}{22} \frac{P^*}{E F} = \frac{9 \cdot 65 \cdot 10^3 \cdot 0,5}{22 \cdot 2 \cdot 10^{11} \cdot 10^{-4}} = 0,665 \text{ мм} - \text{вверх.}$$

$$N_1^P = 38,41 \text{ кН} \quad N_2^P = 14,77 \text{ кН}$$

$$P^* = 65 \text{ кН}$$



$$N_3^P = 11,82 \text{ кН}$$

Рис. 21

Остаточные усилия в стержнях 1, 2 и 3 и перемещение точки найдем алгебраически, суммируя соответствующие результаты, по уточненные при нагрузке и разгрузке

$$N_i^{ost} = N_i^H - N_i^P; \quad \delta_B^{ost} = \delta_B^H + \delta_B^P;$$

$$N_1^{ost} = 35 - 38,41 = -3,41 \text{ кН}$$

- сжатие;

$$N_2^{ost} = 25 - 14,77 = 10,23 \text{ кН}$$

- растяжение;

$$N_3^{ost} = -5 + 11,82 = 6,82 \text{ кН}$$

- растяжение;

$$\delta_B^{ost} = 1,219 - 0,665 = 0,554 \text{ мм.}$$

Здесь N имеет знак плюс при растяжении; δ_B имеет знак плюс при перемещении точки B , вниз.

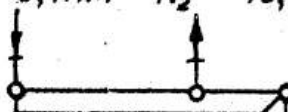
Равновесие системы под действием остаточных сил представлено на рис. 22.

Уравнения равновесия под действием остаточных сил:

$$N_1^{ost} + N_3^{ost} - N_2^{ost} = 0$$

$$-3,41 + 6,82 - 10,25 = 0.$$

$$N_1^{act} = 3,41 \text{ кН} \quad N_2^{act} = 10,23 \text{ кН}$$

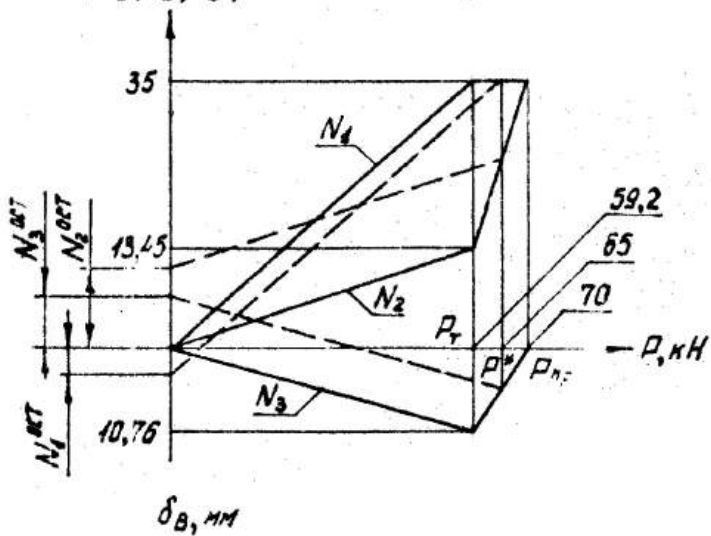


$$N_3^{act} = 6,82 \text{ кН}$$

Рис. 22

$$N_1, N_2, N_3, \text{ кН.}$$

— нагрузка
--- разгрузка



$$\delta_B, \text{мм}$$

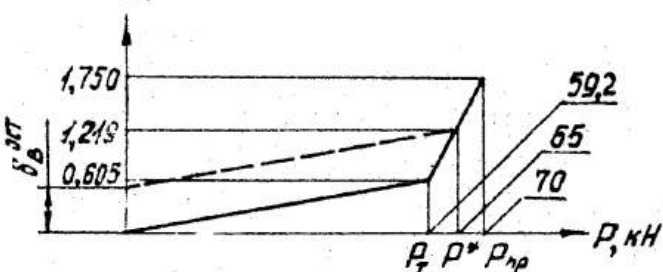


Рис. 23

Графики зависимостей внутренних сил N_i и перемещения δ_B от величины силы P представлены на рис. 23. Убедимся, что $N_i^{ост}$ и $\delta_B^{ост}$, полученные графически, совпали с соответствующими результатами аналитического решения.

Задача 6

Стержень поперечного сечения F и жестко соединенная с ним втулка поперечного сечения $2F$ нагружены силами P (рис. 24).

Построить эпоры нормальных сил, напряжений и перемещений, возникающих в элементах системы при упругих деформациях.

Определить остаточные силы в стержне и во втулке, возникшие после нагружения системы силами $P = P^*$ и последующей разгрузки.

Построить графики изменения внутренних сил и перемещений сечения B при возрастании силы P от нуля до предельного значения P_{cr} .

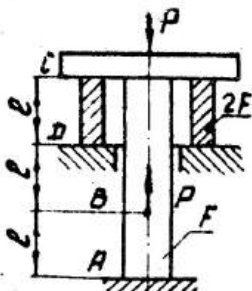


Рис. 24

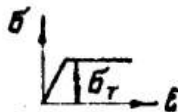


Рис. 25

Стержень и втулка изготовлены из одного и того же идеально-упругопластического материала (см. диаграмму "σ-ε", рис. 25).

Дано: $l = 0,3 \text{ м}$; $F = 2,5 \text{ см}^2$; $\sigma_{cr} = \sigma_{yield} = 300 \text{ МПа}$;
 $E = 2 \cdot 10^5 \text{ МПа}$; $P^* = \frac{15}{8} \sigma_{cr} F$.

Решение

I. Рассмотрим систему в области упругих деформаций ($0 \leq \rho \leq \rho_t$). ρ_t — внешняя сила, при которой в системе появляются первые пластические деформации, т.е. δ_{max} достигает величины δ_t .

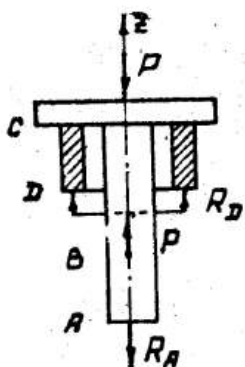


Рис. 26

Для определения δ_{max} необходимо вычислить внутренние силы N_i по всем участкам системы.

Отбросив опоры и заменив их реакциями, определим последнюю, рассмотрев равновесие полученной вспомогательной системы (рис. 26).

Уравнение статического равновесия:

$$-R_A + P + R_D - \rho = 0, \quad (I)$$

$$R_A = R_D.$$

При двух неизвестных R_A и R_D и одном уравнении статического равновесия степень статической неопределенности данной системы равна единице.

Для раскрытия статической неопределенности необходимо одно дополнительное уравнение — уравнение совместности деформаций или уравнение перемещений, которое можно получить, приравняв уменьшение длины втулки к отсечки:

$$\Delta l_{dm} = \Delta l_{cm};$$

$$\frac{R_D \cdot \ell}{E \cdot 2F} = \frac{\rho \cdot 2\ell}{EF} - \frac{R_A \cdot 3\ell}{EF}. \quad (2)$$

При вычислении Δl_{cm} использован принцип независимости действия сил: считая сечение C стержня неподвижным (условно закрепленным), к стержню последовательно прикладывались силы P и R_A .

Решив совместно уравнения (I) и (2), получим

$$R_A = R_D = \frac{4}{7}P.$$

Внутренние силы

$$N_{AB} = R_A, \quad N_{AB} = \frac{4}{7} P \quad - \text{растяжение};$$

$$N_{BC} = P - R_A; \quad N_{BC} = \frac{3}{7} P \quad - \text{сжатие};$$

$$N_{CD} = R_D, \quad N_{CD} = \frac{4}{7} P \quad - \text{сжатие}.$$

Нормальные напряжения

$$\sigma_{AB} = \frac{N_{AB}}{F} = \frac{\frac{4}{7} P}{F} \quad - \text{растяжение};$$

$$\sigma_{BC} = \frac{N_{BC}}{F} = \frac{\frac{3}{7} P}{F} \quad - \text{сжатие};$$

$$\sigma_{CD} = \frac{N_{CD}}{F} = \frac{\frac{4}{7} P}{F} \quad - \text{сжатие}.$$

При возрастании силы P пластические деформации возникнут в первую очередь на наиболее нагруженном участке AB . Из условия

$\sigma_{AB} = \sigma_T$ можно найти соответствующее значение силы

$$P = P_T : \frac{4}{7} \frac{P_T}{F} \cdot \sigma_T \rightarrow P_T = \frac{7}{4} \sigma_T F;$$

$$P_T = \frac{7}{4} \cdot 300 \cdot 10^6 \cdot 2,5 \cdot 10^{-4} = 1,312 \cdot 10^5 \text{ Н} = 131,2 \text{ кН}.$$

Осязные перемещения определим, приняв за начало отсчетов для стержня и втулки соответственно сечения A и D . При этом перемещения, совпадающие с направлением оси Z , т.е. направленные вверх, считаем положительными.

Перемещения для стержня:

$$w_A = 0$$

$$w_B = \Delta l_{AB} = \frac{N_{AB} \cdot \ell}{E F} = \frac{4}{7} \frac{P \ell}{E F} \quad - \text{вверх};$$

$$w_C = w_B + \Delta l_{BC} = \frac{4}{7} \frac{P \ell}{E F} + \frac{N_{AB} \cdot 2\ell}{E F};$$

$$w_C = \frac{4}{7} \frac{P \ell}{E F} - \frac{3}{7} \frac{P \ell \cdot 2}{E F} = - \frac{2}{7} \frac{P \ell}{E F} \quad - \text{вниз}.$$

Перемещения для втулки:

$$w_C = \Delta l_{CD} = \frac{N_{CD} \cdot \ell}{E \cdot 2F} = - \frac{4}{7} \frac{P \ell}{E \cdot 2F} = - \frac{2}{7} \frac{P \ell}{E F} \quad - \text{вниз}.$$

Эпюры N , σ и w построены отдельно для стержня и втулки (рис. 27).

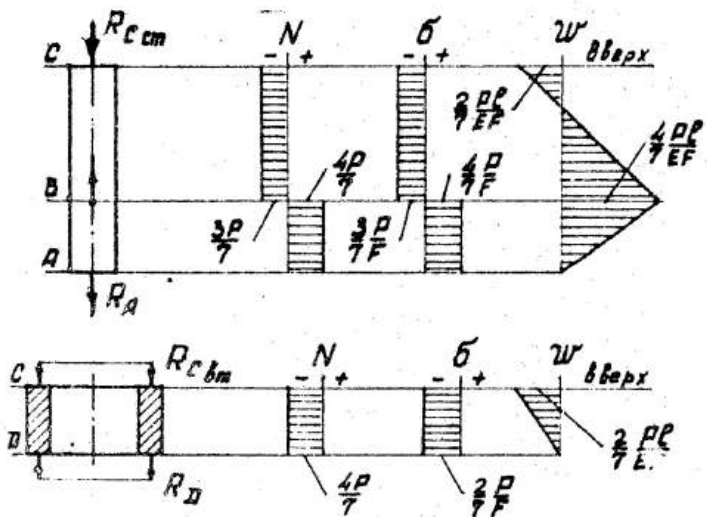


Рис. 27

$$\text{При } \rho = \rho_T \quad N_{AB} = N_{CD} = \frac{4}{\pi} \cdot \frac{\pi}{4} G_T F = G_T F,$$

$$N_{AB} = 300 \cdot 10^6 \cdot 2,5 \cdot 10^{-4} = 75 \text{ kH};$$

$$N_{BC} = \frac{3}{7} \cdot \frac{7}{4} G_T F = \frac{3}{4} G_T F = 56,25 \text{ kN};$$

$$W_B = \frac{4}{7} \cdot \frac{G_F F \ell}{E F} = \frac{6 \cdot \ell}{E} = \frac{300 \cdot 10^6 \cdot 93}{2 \cdot 10^{11}} = 0,45 \text{ MM.}$$

2. Рассмотрим систему в области упругопластических деформаций ($P_T \leq P \leq P_{np}$). P_{np} — внешняя сила, при которой заданная система "стержень-втулка" теряет свою несущую способность, т.е. дальнейшее увеличение внешней силы становится невозможным.

Особо подчеркнем, что при значениях нагрузки $\rho > \rho_2$ результаты другого решения, полученные выше в п. I, перестают быть достоверными, т.е. использованы быть не могут.

Так как диаграмма "6- ε " (см. рис. 25) указывает на отсутствие упрочнения материала, то при $\rho_t < \rho < \rho_{y_0}$ на наиболее на-

груженном участке AB $\sigma_{AB} = \sigma_r = \text{const}$,

а, следовательно, $N_{AB} = \sigma_r F$.

Из условия статического равновесия части стержня, выделенной текущими сечениями на участке AB и BC (рис. 28), получим

$$\sigma_{BC} = \rho \cdot N_{AB} = \rho \cdot \sigma_r F; \text{ а } \sigma_{BC} = \frac{\rho}{F} - \sigma_r.$$

Из условия равновесия всей системы (рис. 26) имеем уравнение (I)

$$R_A = R_D; \text{ но } R_A = N_{AB}; R_D = N_{CD},$$

следовательно, $N_{CD} = N_{AB} = \sigma_r F$; а $\sigma_{CD} = \frac{\sigma_r}{2}$.

Итак, напряжения σ на участках AB и CD не зависят от ρ , следовательно, при $\rho > \rho_r$ эти участки не сопротивляются росту силы ρ . Росту внешней нагрузки ρ продолжает сопротивляться только участок BC (см. уравнение для σ_{BC}), тогда очевидно, что с ростом нагрузки ρ , вслед за участком AB , пластические деформации появятся на участке BC , т.е. $\sigma_{BC} = \sigma_r$, а $N_{BC} = -\sigma_r F$ и для системы наступит предельное состояние ($\rho = \rho_{pr}$). Предельная сила ρ_{pr} может быть найдена из условия равновесия части стержня (рис. 29)

$$\rho_{pr} \cdot \sigma_r F + \sigma_r F = 2\sigma_r F.$$

или из условия, что в предельном состоянии $\sigma_{BC} = \sigma_r$, т.е.

$$\frac{\rho_{pr}}{F} - \sigma_r = \sigma_r, \text{ откуда } \rho_{pr} = 2\sigma_r F;$$

$$\rho_{pr} = 2 \cdot 300 \cdot 10^6 \cdot 2,5 \cdot 10^4,$$

$$\rho_{pr} = 150 \text{ кН.}$$

Основное перемещение сечения B при значениях $\rho_r < \rho < \rho_{pr}$ следует искать, рассматривая перемещения сечений тех участков системы, которые работают упруго, т.е. участков BC и CD .

Последнему из условий совместности деформаций имеем $\Delta \ell_{AB} = \Delta \ell_{BC}$ или $\Delta \ell_{CD} = \Delta \ell_{AB} + \Delta \ell_{BC}$.

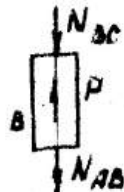


Рис. 28

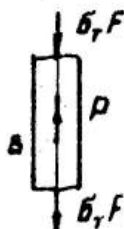


Рис. 29

откуда

$$\Delta \ell_{AB} = W_B = \Delta \ell_{BC} - \Delta \ell_{CD}; \quad W = \frac{N_{BC} \ell}{EF} - \frac{N_{CD} \ell}{2EF}.$$

С учетом значений $N_{BC} = P - 6_T F$ и $N_{CD} = 6_T F$ получим

$$W_B = \frac{2(P - 6_T F)}{EF} - \frac{6_T \ell}{2E}.$$

При $P = P_{np} = 26_T F$

$$N_{AB} = 6_T F = 300 \cdot 10^6 \cdot 25 \cdot 10^{-4} = 75 \text{ кН};$$

$$N_{BC} = P_{np} - 6_T F = 26_T F - 6_T F = 25 \text{ кН};$$

$$N_{CD} = 6_T F = 75 \text{ кН};$$

$$W_B = \frac{(P_{np} - 6_T F)\ell}{EF} - \frac{6_T \ell}{2E} = \frac{3}{2} \frac{6_T \ell}{E};$$

$$W_B = \frac{3}{2} \frac{300 \cdot 10^6 \cdot 0.3}{2 \cdot 10^{11}} = 0,675 \cdot 10^{-3} \text{ м} = 0,675 \text{ мм.}$$

Определим остаточные силы N_i^{ost} и остаточное перемещение сечения B W_B^{ost} при нагружении системы силой $P^* = \frac{15}{8} 6_T F$ и полной последующей разгрузке.

Так как $P < P^* < P_{np}$, то при нагружении, используем решение, полученное в п. 2 (равновесие элементов системы стержень - втулка" при нагрузке представлено на рис. 30), запишем

$$N_{AB}^H = 6_T F = 75 \text{ кН} - \text{растяжение};$$

$$N_{BC}^H = P^* - 6_T F = \frac{15}{8} 6_T F - 6_T F = \frac{7}{8} 6_T F = 67.5 \text{ кН} - \text{сжатие};$$

$$N_{CD}^H = N_{AB}^H = 6_T F = 75 \text{ кН} - \text{сжатие}.$$

Перемещения при нагрузке:

$$W_B^H = \frac{2(P^* - 6_T F)\ell}{EF} - \frac{6_T \ell}{2E}; \quad W_B^H = \frac{5}{4} \frac{6_T \ell}{E};$$

$$W_B^H = \frac{5 \cdot 300 \cdot 10^6 \cdot 0.3}{4 \cdot 2 \cdot 10^{11}};$$

$$W_B^H = 0,562 \cdot 10^{-3} \text{ м} = 0,562 \text{ мм} - \text{вверх}.$$

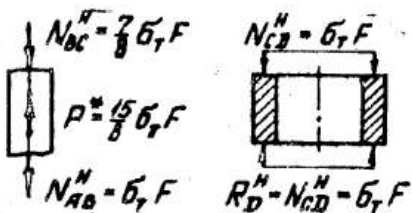


Рис. 30

Полную разгрузку заданной системы произведем, приложив силы $P=P^*$ в направлениях, противоположных заданным.

Так как при разгрузке справедлив закон Гука, то при определении N_i^P и W_B^{P*} можно использовать упругое решение (см. п. I). Так как разгрузка – это нагружение теми же силами P^* , но противоположно направленными, знаки внутренних сил при разгрузке будут противоположными по сравнению со знаками при нагрузке.

$$N_{AB}^P = \frac{4}{7} P^* = \frac{4}{7} \cdot \frac{15}{8} \sigma_r F = \frac{15}{14} \sigma_r F = 80,36 \text{ кН} \quad \text{– сжатие;}$$

$$N_{BC}^P = \frac{3}{7} P^* = \frac{3}{7} \cdot \frac{15}{8} \sigma_r F = \frac{45}{56} \sigma_r F = 60,27 \text{ кН} \quad \text{– растяжение;}$$

$$N_{CD}^P = \frac{4}{7} P^* = 80,36 \text{ кН} \quad \text{– растяжение.}$$

Равновесие элементов системы при разгрузке представлено на рис. 31.

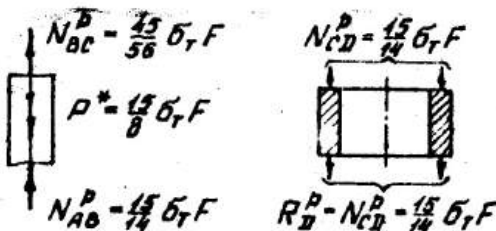


Рис. 31

Остаточные силы N_i^{osc} и перемещение W_B^{osc} определим, суммируя соответствующие результаты, полученные при нагружке и разгрузке:

$$N_i^{OCT} = N_i^H + N_i^P; \quad W_B^{OCT} = W_B^H + W_B^P;$$

$$N_{AB}^{OCT} = 6_r F - \frac{15}{14} 6_r F = -\frac{1}{14} 6_r F = -5,36 \text{ кН} \quad - \text{ сжатие};$$

$$N_{CD}^{OCT} = -\frac{7}{8} 6_r F + \frac{45}{56} 6_r F = -\frac{1}{14} 6_r F = -5,36 \text{ кН} \quad - \text{ сжатие};$$

$$N_{CD}^{OCT} = -6_r F + \frac{15}{14} 6_r F = \frac{1}{14} 6_r F = 5,36 \text{ кН} \quad - \text{ растяжение}.$$

Равновесие элементов системы под действием остаточных сил предложено на рис. 32.

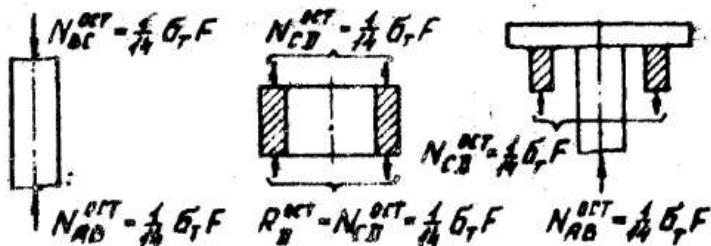


Рис. 32

Графики зависимостей внутренних сил N_i и перемещения W_B от величин силы P представлены на рис. 33.

Заметим, что по построенным графикам можно графически определить N_i^{OCT} и W_B^{OCT} и сопоставить полученные величины с результатом аналитического решения (они должны быть одинаковы).

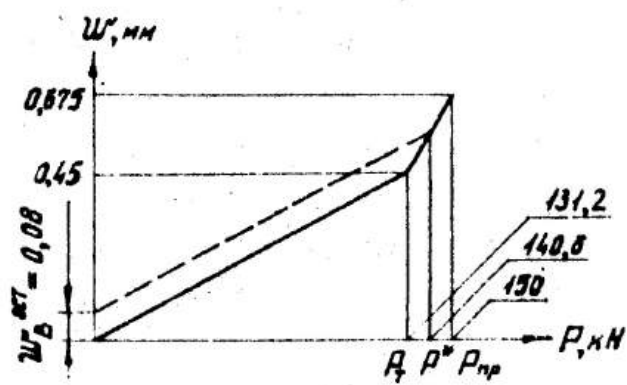
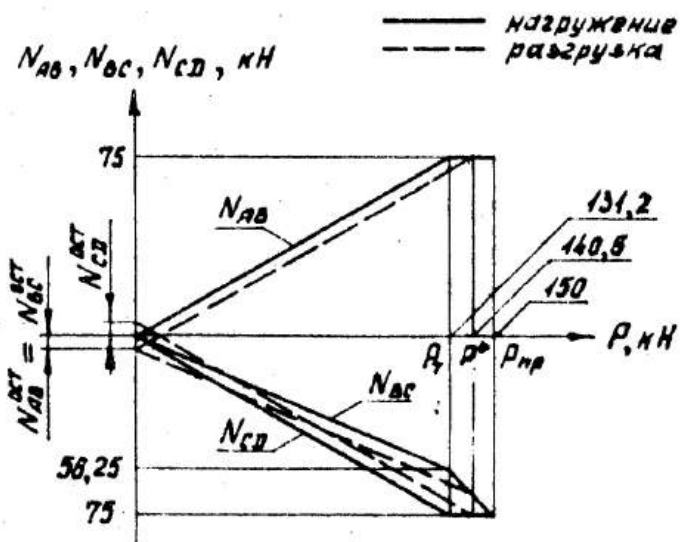


Рис. 33

Образец штампа

<u>Факультет</u>	<u>Группа</u>	<u>Начала курса</u>	<u>Номер задания</u>	<u>Фамилия, инициалы преподавателя</u>
			120	
		25	25	15 15
40	MVTU	Сопротивление материалов		
10 10 10				
				вариант
				60
<u>Фамилия, инициалы исполнителя</u>	<u>Название задания</u>	<u>Номер варианта</u>		